

高等学校试用教材

高频开关变换 技术教程

GAOPIN KAIGUAN BIANHUA JISHU JIAOCHENG

张占松 张心益 编著



机械工业出版社
CHINA MACHINE PRESS

高等学校试用教材

高频开关变换技术教程

张占松 张心益 编著



机械工业出版社

本书系统地论述了基本高频开关功率变换器的工作原理、理论计算过程、各种实际应用及设计方法，让读者能够掌握基本的高频开关功率变换器的设计与计算。在此基础上，本书还系统地论述了高频软开关技术的工作原理、理论计算和实际工程应用的设计方法。本书还论述了反馈控制、小信号分析方面的内容，从而让读者能在实际工程应用中掌握小信号、反馈控制的测量、分析和校正方面的技术。作为一本工程技术人员的参考书，本书还给出了磁性元件、PWM 控制芯片等的一些参考图表、数据，供读者设计高频开关功率变换器时参考。

本书可供电子、信息、通信、仪表专业本科、专科学生使用，也可以作为电子工程技术人员的设计参考用书。

图书在版编目（CIP）数据

高频开关变换技术教程/张占松，张心益编著. —北京：机械工业出版社，2010. 8

ISBN 978-7-111-31664-0

I. ①高… II. ①张… ②张… III. ①高频 - 开关电源 - 功率变换器 - 教材 IV. ①TN761

中国版本图书馆 CIP 数据核字（2010）第 165626 号

机械工业出版社（北京市百万庄大街 22 号 邮政编码 100037）

策划编辑：牛新国 王 欢 责任编辑：王 欢

责任校对：李秋荣 封面设计：路思中 责任印制：乔 宇

北京机工印刷厂印刷（兴文装订厂装订）

2010 年 11 月第 1 版第 1 次印刷

184mm × 260mm · 11.75 印张 · 284 千字

0 001—3 000 册

标准书号：ISBN 978-7-111-31664-0

定价：29.00 元

凡购本书，如有缺页、倒页、脱页，由本社发行部调换

电话服务 网络服务

社服务中心：(010) 88361066 门户网：<http://www.cmpbook.com>

销售一部：(010) 68326294 教材网：<http://www.cmpedu.com>

销售二部：(010) 88379649

读者服务部：(010) 68993821 封面无防伪标均为盗版

序

随着我国 IT 和通信产业的迅猛发展，高频开关功率变换技术及相关产业也得到了快速发展。从而对高频开关功率变换技术的创新，以及专业人才的需求，都提出了更高的要求。越来越多的人从事高频开关功率变换技术的研究、开发、设计、制造。高频开关变换技术已经成为电力电子技术应用的一个重要分支。

近十年来，我国许多大学在开设电力电子技术课程的基础上，陆续开设了有关高频开关功率变换技术的课程，但是目前关于高频开关功率变换技术的基础教材还不多见。

张占松教授长期从事开关电源变换技术的教学和研究工作，具有很高的造诣。张心益老师也有长期从事开关变换技术产品的研发和生产经验。为了更好地开展高频开关功率变换技术知识的传授和推广，面向电气工程、自动化、电子信息、通信等专业需要学习高频开关功率变换技术的人才，两位张老师撰写了此书。

全书系统地论述了高频开关功率变换技术的原理、分析及设计方法；在此基础上论述了谐振式软开关技术的原理和设计方法；介绍了开关变换器小信号动态分析方法，高频开关功率变换器的闭环控制设计方法；介绍了磁性元件设计、PWM 控制芯片应用、保护电路等内容。此书特色是系统性较强、深入浅出，可以系统地培养读者综合运用各知识的能力。

相信此书对于推动开关电源技术的普及和推广，具有很好的促进作用。

浙江大学 徐德鸿教授

徐德鸿

2010 年 9 月 9 日

前　　言

作为新兴的、具有节能效果的高频开关功率变换技术，其使用已越来越广泛，几乎进入了每个家庭。我们的日常生活中随处可见高频开关功率变换器的踪影，越来越多的学生、工程技术人员、电气维修技术人员都想系统地学习高频开关功率变换技术的相关知识。而且随着电子产品专业分工的深入，高频开关功率变换器作为一个独立的部件已经由专业生产厂商独立生产，而整机设备生产厂商只需到专业生产厂商去选择标准的高频开关功率变换器就可以了。

因而，对于不同的实际需求，就会需要不同的关于高频开关功率变换技术的知识。但是，目前还是比较缺乏系统地介绍高频开关功率变换技术基本原理、理论计算、实际工程应用设计方面的书籍。满足这些需要也是作者编写本书的主要目的。本书意在将高频开关功率变换技术以其相对独立的理论体系，来建立一门跟机电类各专业都紧密相关的技术课程，让读者能够熟练掌握高频开关功率变换器的基本原理、工作特点、性能参数及使用方法，以及高频开关功率变换器的设计方法、调整方法，以期满足社会对此类高频开关功率变换技术人才的迫切需求。

本书首先介绍了高频开关功率变换技术的基本原理，给出了一些和基本原理紧密联系的理论计算公式，删减了一些比较深入的、可作为理论研究的问题，让读者能够容易理解，学懂高频开关变换器的基本理论。之后，给出了四个最基本的拓扑结构。对于这四个拓扑结构，本书用简洁的语言、简单的数学工具、简单明了的波形图来说明其工作原理、工作特点及设计方法。对于一些影响不是很广泛应用的拓扑结构本书作了删减。

本书第二章重点介绍了目前常用的IGFET和IGBT，但不包括已淘汰的双极型晶体管的内容。同时，也介绍了基本、经典的IGFET和IGBT的驱动电路，让读者能够更好地掌握IGFET和IGBT的性能和使用方法。

第三章介绍了高频开关功率变换器的磁性元件，用非常简单、直观的方式介绍了变压器的设计、电感器的设计，并介绍了大量的设计图表，让读者学会如何利用现有的图表资料来进行磁性元件的设计。

本书也使用了一些实例来介绍各种不同的隔离型拓扑电源。介绍实例中的设计方法都是实际工程应用的方法。

对谐振式软开关变换器，本书花了一些篇幅重点介绍软开关变换器的工作原理、工作方式，意在让读者明白谐振工作的过程。只有了解了工作过程，才能更好地设计其控制电路。最后，给出了谐振变换器的工程设计应用和一些工程计算图表，以便读者能进行实际工程设计。

在理解了谐振开关变换器的工作原理和工作过程后，就比较容易理解有源钳位、全桥移相等软开关技术。因而，本书只介绍了有源钳位、全桥移相软开关技术的工作原理和工作过程，并只给出简单的软开关形成条件的方程式。至于公式推导则不做介绍，可让读者参照串联谐振方面的内容自行推导。

本书也介绍了同步整流、APFC、并联均流等技术，让读者能够了解这些新技术的工作原理及设计方法。

本书第一章，第二章，第四章第一节、第二节、第三节和第七章的内容由张占松老师执笔；第三章，第四章第四节，第五章，第六章，第八章及概论部分的内容由张心益老师执笔。

浙江大学徐德鸿教授在百忙中为本书作了序言，在此表示衷心的感谢！

另外，在本书编写过程中，作者采用本书的内容构架，在由北京昂讯公司举办的多次全国各地的短期培训班中讲解这门课程，得到广大学员的好评和肯定。同时，也提出了一些建议，在此一并感谢北京昂讯公司和这些学员。

在本书编写过程中，我们得到了很多同行、老师及朋友们的支持，特别是得到了北京交通大学耿文学老师，清华大学张乃国老师，华南理工大学张波、王志强、丘东元等老师，北京航空航天大学张俊民老师，北方工业大学陈亚爱老师，广州大学杨睿老师，暨南大学陈长缨老师，五邑大学陈鹏老师，广东机电职业技术学院徐月华、万家富老师，广东工业大学谢光汉、唐雄民老师，新进科技有限公司卢伟国、许志亮、黄小炳先生，中兴通讯公司李广勇、胡先红、帅永辉先生，佛山汉毅电脑设备有限公司杨义根先生，广州广日电梯集团配件有限公司罗婉霞女士、张凌云先生，广州金升阳科技有限公司尹向阳先生，电源世界杂志社刘勇先生，广州电器科学研究院张文丽小姐的帮助和指点，在此也向他们表示由衷的感谢。

由于本书编写时间有限，书中内容、见解、叙述难免疏漏，敬请广大读者谅解和指正！

作 者
2010 年 9 月

目 录

序

前言

概论

第一章 基本开关型变换器主电路拓扑 4

 第一节 Buck 变换器 4

 一、工作原理 4

 二、电路各点的波形 5

 三、主要概念与关系式 5

 四、稳态特性与元器件参数的量化 10

 第二节 Boost 变换器 13

 一、工作原理 13

 二、电路各点的波形 14

 三、主要概念与关系式 15

 四、稳态特性分析 18

 五、起动过程特性分析 20

 第三节 Buck-Boost 变换器 20

 一、工作原理 20

 二、电路各点的波形 21

 三、主要概念与关系式 22

 四、优缺点 23

 五、拓扑分析反号变换器 23

 第四节 Cuk 变换器 24

 一、电路构成 24

 二、工作原理 25

 三、电路各点的波形 26

 四、主要概念与关系式 27

 第五节 四种基本变换器的比较 29

第二章 变换器中的功率开关器件及其驱动电路 32

 第一节 开关功率器件 32

 一、IGFET 和 IGBT 的结构和导电机理 32

 二、IGBT 与 IGFET 的不同 33

 第二节 IGFET 和 IGBT 的静特性 34

 一、输出电压 34

 二、IGFET 和 IGBT 作为硬开关时的开关特性 34

 第三节 作为开关使用的二极管 36

 一、二极管的转态限制了工作频率 f_s 的提高 36

 二、寄生二极管的作用 36

| | |
|-----------------------------|-----------|
| 三、几种二极管的比较 | 36 |
| 第四节 功率模块 | 37 |
| 一、结构 | 37 |
| 二、功率模块的可应用性指标 | 38 |
| 三、模块的类型 | 38 |
| 第五节 开关功率器件的驱动 | 39 |
| 一、直接驱动法 | 39 |
| 二、隔离驱动法 | 39 |
| 三、专用芯片高频脉冲调制驱动法 | 40 |
| 第三章 高频开关变换技术中的磁性元件设计 | 41 |
| 第一节 磁性材料的基本特性 | 41 |
| 一、磁性材料的基本参数 | 41 |
| 二、磁心的结构 | 43 |
| 三、基本电磁感应定律 | 44 |
| 四、高频磁性元件的损耗 | 44 |
| 第二节 高频变压器的设计方法 | 48 |
| 一、变压器尺寸的确定 | 49 |
| 二、变压器的最优效率 | 50 |
| 三、磁感应强度摆幅的选择 | 50 |
| 四、变压器一次绕组匝数的计算 | 52 |
| 五、变压器二次绕组匝数的计算 | 52 |
| 六、绕组导线的选择 | 53 |
| 七、绕组的排列结构 | 53 |
| 八、安全性能要求对变压器的影响 | 55 |
| 九、漏感对变压器性能的影响 | 55 |
| 第三节 电感的设计方法 | 56 |
| 一、电感器的设计方法 | 57 |
| 二、扼流圈的设计方法 | 58 |
| 第四节 共模电感的设计 | 62 |
| 第五节 新型磁性材料 | 63 |
| 一、铁镍合金 | 63 |
| 二、铁铝合金 | 64 |
| 三、非晶态合金 | 64 |
| 四、微晶合金 | 64 |
| 五、粉心材料 | 65 |
| 第四章 输入与输出隔离的各种变换器结构 | 66 |
| 第一节 变换器供电电源 | 66 |
| 一、概念 | 66 |
| 二、 V_s 的整流、滤波电路元器件计算 | 66 |
| 第二节 反激变换器 | 69 |
| 一、工作原理 | 69 |
| 二、变压器的工作特点与设计分析 | 72 |
| 三、双管反激变换器 | 73 |

| | |
|--------------------------------|-----|
| 第三节 正激变换器 | 73 |
| 一、正激变换器电路组成、工作原理和波形 | 74 |
| 二、正激变换器的变压器带来的问题 | 74 |
| 三、技术措施 | 74 |
| 四、基本关系式 | 76 |
| 第四节 半桥变换器原理与设计 | 78 |
| 一、半桥变换器的工作原理 | 78 |
| 二、半桥变换器的优缺点 | 81 |
| 三、半桥变换器变压器的设计 | 83 |
| 第五章 高频开关变换器的软开关技术 | 85 |
| 第一节 高频开关变换器的损耗 | 85 |
| 第二节 零电流、零电压开关 | 86 |
| 第三节 反激变换器的谐振软开关 | 86 |
| 第四节 Boost 变换器谐振软开关 | 88 |
| 第五节 半桥谐振开关变换器 | 91 |
| 一、RLC 串联谐振基本知识 | 91 |
| 二、半桥 LLC 串联谐振变换器 | 95 |
| 第六节 有源钳位软开关技术 | 107 |
| 第七节 全桥移相软开关技术 | 111 |
| 一、电路原理和各工作模态分析 | 111 |
| 二、全桥移相电路零电压开关形成条件 | 114 |
| 三、二次侧占空比丢失现象 | 114 |
| 第六章 有源功率因数、同步整流、变换器并联技术 | 116 |
| 第一节 有源功率因数校正 | 116 |
| 一、Boost 变换器有源功率因数校正原理 | 117 |
| 二、Boost 变换器有源功率校正的电流状态 | 118 |
| 三、APFC 的控制方式 | 119 |
| 四、平均电流控制的 APFC 电路 | 121 |
| 五、单周控制的 APFC 电路 | 122 |
| 第二节 同步整流技术 | 124 |
| 一、同步整流原理 | 125 |
| 二、自驱动同步整流技术 | 126 |
| 三、辅助绕组驱动同步整流技术 | 126 |
| 四、有源钳位同步整流技术 | 127 |
| 五、电压外驱动同步整流技术 | 128 |
| 六、应用谐振技术的软开关同步整流技术 | 129 |
| 七、正激有源钳位电路的外驱动软开关同步整流技术 | 129 |
| 第三节 高频开关变换器的并联均流 | 130 |
| 一、输出阻抗法并联均流技术 | 131 |
| 二、主/从控制法 | 132 |
| 三、平均电流自动均流技术 | 133 |
| 四、最大电流法自动均流技术 | 134 |
| 五、热应力自动均流技术 | 134 |

| | |
|-------------------------|-----|
| 第七章 开关电源的闭环控制 | 136 |
| 第一节 开关电源系统的隔离技术 | 136 |
| 第二节 PWM开关电源的集成电路芯片 | 137 |
| 一、SG3524电压控制型芯片 | 138 |
| 二、UC3846/3842电流控制型芯片 | 140 |
| 第三节 集成控制芯片的发展 | 142 |
| 一、专用芯片在特定的拓扑中的应用 | 142 |
| 二、重视实用技术的使用 | 142 |
| 三、数字控制 | 143 |
| 第四节 状态空间平均法的动态理论和参数 | 143 |
| 开关变换器小信号分析 | 143 |
| 第五节 伯德图的测量设备及测量方法 | 153 |
| 一、开环系统直接注入法 | 153 |
| 二、几赫兹以上的开环伯德图测量法 | 154 |
| 三、用差分方法确定补偿特性曲线 | 154 |
| 第六节 误差放大器反馈网络参数的确定 | 155 |
| 第八章 高频开关变换器的保护电路 | 158 |
| 第一节 输入浪涌电压 | 158 |
| 一、输入浪涌电压的形成及形式 | 158 |
| 二、输入浪涌电压抑制元器件 | 159 |
| 三、抑制输入浪涌电压的方法 | 162 |
| 第二节 输入浪涌电流 | 163 |
| 一、输入浪涌电流的产生 | 163 |
| 二、输入浪涌电流的抑制方法 | 165 |
| 第三节 输入过电压、过电流的保护 | 167 |
| 第四节 输出过电压、过电流的保护 | 167 |
| 第五节 开关变换器的过热保护 | 168 |
| 第六节 开关变换器电磁干扰的防护 | 169 |
| 一、开关变换器电磁干扰的产生和测定 | 169 |
| 二、开关变换器传导噪声的抑制 | 170 |
| 三、开关变换器辐射噪声的抑制 | 173 |
| 参考文献 | 175 |

概 论

高频开关变换器是指采用现代电力电子器件（快速肖特基整流二极管、MOS 管、IGBT 等高速器件），将直流或交流电源调制成高频交变电源的电源转换设备。根据输入、输出的不同可分为以下几种：

(1) DC-DC 电源

指输入是直流，输出也是直流的高频开关变换器。此类电源大量的应用于数码电子产品及通信设备。

(2) DC-AC 电源

指输入是直流，输出是交流的高频开关变换器。不间断电源、后备电源均是 DC-AC 电源的典型应用。

(3) AC-DC 电源

指输入是交流，输出是直流的高频开关变换器。它的应用最广，几乎所有电子产品均要用到此类电源。

(4) AC-AC 电源

指输入是交流，输出是频率可变、幅值可变的交流，变频器就是这类 AC-AC 电源的典型产品。照明产品用的电子镇流器也是此类产品。

高频开关变换器的基本类型是 DC-DC 高频变换器，是将直流电源通过高频调制，变成高频方波交流电源，再将其整流成直流输出。

对于传统的 DC-DC 电源一般是采用串联稳压直流电源，这是一种连续控制的线性稳压电源。之所以称之为线性电源，是因为其调整管工作在线性放大区，整个调整功率全部由调整管承担，其调整管的功耗很大，整个电源设备的效率就比较低，一般在 35% ~ 50% 左右，而且调整管需要用体积很大的散热器去降低调整管的温升。

高频开关变换器的调整管工作于开关状态，其开关频率高达几万赫兹，甚至几十万赫兹，此时开关管的功耗仅是开关时形成的开关损耗和开通时的通态损耗，因而损耗大大降低，效率可达 75% ~ 95%。在高频工作的情况下，变压器、电感等磁性元件得以采用高频铁氧体材料，摈弃了串联稳压电源的低频变压器，因而体积小、重量轻，电源的功率密度得到很大的提高。

电源是组成各种电子设备的最基本部分，每个电子设备均会要求有一个稳定可靠的直流电源来供给设备的各种信号处理电路的直流偏置，以期达到各信号处理电路能稳定可靠的工作。

目前，开关电源变换器以它的高效率、小体积、重量轻等特点，已用来作为电脑、家电、通信设备等现代化用电设备的电源，为世界电子工业产品的小型化，轻型化、集成化作出了很大的贡献。然而，由于开关功率变换器工作在大信号开关状态，其电源的调整率、输出电压纹波、瞬态响应均不如串联稳压电源。在高达几万赫兹的方波工作频率下，很容易形成高次谐波，造成对电源输入线及电源周围设备的电磁干扰。为此，人们又一次将目光聚焦

到如何进一步提高开关变换器的功率密度、转换效率，降低高次谐波、EMI（Eletro Magnetic Interference，电磁干扰）的问题上。由此出现了采用LC谐振工作方式的零电压、零电流开关的电源变换器。零电压、零电流等软开关变换器的出现，去除了开关变换器的开关损耗，大大推动了开关变换器的发展，使得开关变换器的工作频率越来越高。这样开关变换器的磁性元件的体积就变得很小，从而得以采用集成技术将变换器内的所有磁性元件集成在一个磁组件上，形成集成磁性元件，并且在工作频率很高时，输出滤波电容可采用容量和体积比较小的电容，这些都大大提高了开关变换器的功率密度。

在谐振开关变换器中，流过功率开关器件中的电流或加载到功率开关器件上的电压均为正弦波，因而其波形的频谱成分很低，不存在高次谐波的问题，电磁干扰的问题也得到很大程度的改善。另外，由于电压、电流的变化率变得较小，开关功率器件的浪涌电压、浪涌电流也随之变得很小，这又给开关变换器的功率开关器件的可靠工作带来了很大的好处。

在环境问题、能源问题凸显的今天，节能减排、降低温室效应已是人们关心和重视的问题。开关变换器效率较高，有节能的效果。但未来会对开关变换器的效率要求越来越高，尤其是很多电子设备多为长期接在交流电网上，有些采用遥控的设备（如电视机）本身需要有一个电源让遥控接收电路工作。因而就提出了空载损耗的概念，虽然单台设备的空载损耗很小，但大量的设备同时连接到交流电网就不能忽视这些损耗了。

为了解决空载损耗的问题，人们就从控制方式上作了很大的努力，出现间隙、跳频控制等方式，即在开关变换器空载时，控制电路既采用间隙工作的方式以减小损耗，同时又检测负载的情况，一旦有负载即刻转入正常工作频率，采用此种方式后，一些设备的空载损耗已能降低到0.2W的水平。谐振软开关的应用解决了开关变换器的开关损耗问题，但开关器件由于工艺问题所形成的源-漏极导通电阻、集电极和发射极的饱和导通电压、二极管的导通电压、反向恢复时间均成为开关变换器损耗的主要来源，因而人们在研究开关变换器拓扑结构的同时，也在不断地进行开关用功率器件的研究。

为降低输出整流二极管的功耗，目前已出现采用低损耗二极管的产品。低损耗二极管具有更低的导通电阻。而且，同步整流技术的出现也完全改变了传统的整流方式，使得输出整流损耗得到很大幅度的降低。采用同步整流技术之后，开关变换器的效率一般可提高5%左右。

为降低开关功率器件的导通损耗，已研发出COOLMOS的新工艺。其特性的变化范围同以前的功率IGFET相比有较大改善，在 V_{ds} （耐压）为600V的时候，每个单位面积的导通电阻可降低1/5，因而采用COOLMOS的IGFET具有更低的开关损耗和导通损耗。

IGBT的电流密度是IGFET的3倍，因而用IGBT模块是大功率应用的普遍选择。但以往IGBT的导通机制则必定会产生关闭IGBT时的“拖尾”电流，“拖尾”电流会造成很大的开关损耗，也使IGBT的开关工作频率受到限制。WARP快速型IGBT的出现给大功率的开关变换器带来很大的改善，WARP是以降低50%的IGBT关断损耗为目标而研究开发的，目前的测试已达到预计目标。目前，WARP的工作频率已达180kHz左右。

现在开关功率变换器因具有较高的效率在人们的日常生活中应用很广，每个家庭都有很多高频功率变换器的应用，如电视机、洗衣机以及照明荧光灯的镇流器均是开关变换技术的应用。因而大量开关功率变换器的使用又对开关功率变换器提出了以下这些更高、更严的要求。

(1) 研制高效节能高频开关变换器

分成两个发展方向，一是如何更有效地降低开关变换器的控制损耗，二是如何进一步提高现有开关变换器的使用效率。就这两点而言，对开关变换器的拓扑结构、开关功率器件、磁性材料、磁性元件、电容滤波器件等都提出了更为严格的要求，也是目前这个产业要重点研究的课题。

(2) 开关变换器的小形化、低电压化和大容量化

小形化意指其体积小、功率密度高。随着数字化、信息化社会的到来，各种个人的信息化、数字化产品层出不穷，因而也希望各种电源供应器件也越小越好。这对开关电源变换器的设计也带来很大的冲击，在磁性元件设计、滤波器件的选择、电源产品的散热设计方面均有较高的难度，但短、小、轻、薄是未来的发展方向。

大容量意指功率大，目前高频开关变换器的功率容量还是受到 IGBT、IGFET 的高频开关器件的限制而无法做成兆瓦级的功率变换器，但随着器件的发展，估计未来几年就有可能出现兆瓦级的开关功率变换器。

(3) 低噪声、低损耗的软开关变换器

零电流、零电压开关变换器能有效降低功率器件的开关损耗、浪涌电压、浪涌电流，因而是一种低损耗、低噪声的开关变换器。但是，如何更可靠、更有效、更优化地设计软开关变换器拓扑、磁性元件结构及参数就成为目前研究的重点。

(4) 高次谐波及电磁干扰的防护

开关变换器使用越来越广泛，同时也给电力输电网带来了谐波压力的问题。有时单台开关变换器设备的高次谐波符合使用标准，但大量设备同时在同一电力网络上时，其高次谐波就不容忽视，会造成很大的危害。

越来越多无线电频谱的使用，也迫使开关变换器的电磁辐射干扰必须很低，不然会严重干扰无线通信。另外，电磁干扰的辐射抑制要求也会越来越严。

(5) 新材料、新器件的研发

开关变换器的发展同时也得益于新材料和新器件的发展，因而在大力发展高频开关变换器的同时，也必须大力开展各种高频开关变换器所用的材料和器件，如磁性材料、功率开关器件。散热材料、散热技术的发展均是开关功率变换器发展的重要一环。

第一章 基本开关型变换器主电路拓扑

“拓扑”一词由英文单词 topology 音译而来，拓扑一词包含了电路结构、电路原理及电路的运行模式。分析拓扑原理可以使用能量守恒的概念，而无需死记硬背公式。原理分析中的所有公式均是由 Δi 、 $\Delta \phi$ 、伏·秒值、安·秒值、安·匝数等原则推导出来的。

无论开关变换器的拓扑如何演化，均是由本书所述的四种基本拓扑发展、变化而来。

人们从不同的角度对变换器进行了分类。本章主要讲述基本开关型变换器。变换器（直流-直流变换）主要功能是变电压或变换组别。

变换器主要元器件是电感、电容和晶体管。晶体管起到高频开关的作用，即周期性地以开通-关断-开通形式工作，频率一般在 20kHz 以上，高的还到几兆赫兹。由于频率越高的开关电源，其体积越小、重量越轻、成本也越低，因此人们追求开关电源高频化。但是，频率过高会带来新的问题。众所周知，在一个周期 T_s 中包括开通时间 t_{on} 和关断时间 t_{off} ， $t_{on} + t_{off} = T_s$ 。 $t_{on}/T_s = D_1$ ，称为开通时间占空比。 $t_{off}/T_s = D_2$ ，称为关断时间占空比。在每个周期开始时， I_L 均从零开始，这种状态称为 I_L 不连续工作模式。如果在电感电流 I_L 不连续时，还会出现第三个占空比 D_3 。这时，除了电容供电流给负载之外，线路中均无电流（Cuk 除外）。所以，电感电流 I_L 连续或不连续是要特别关注的。

本章介绍基本变换器的各项特征，包括电路、工作原理、波形、主要概念与关系式、特点等。利用拓扑，分析结构、推导公式，最后用公式列表来比较四种最常用基本变换器的异同。

第一节 Buck 变换器

Buck 变换器如图 1-1 所示，又名降压变换器或三端开关型降压稳压器。

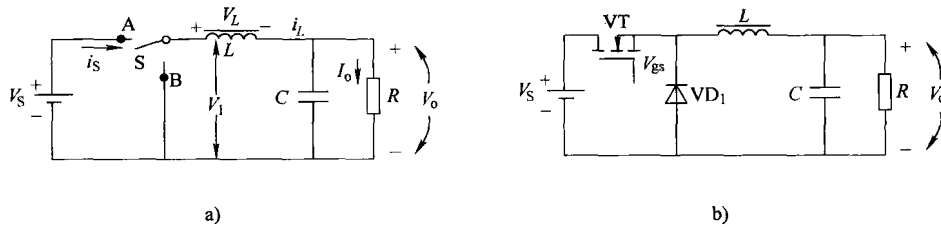


图 1-1 Buck 变换器电路

图 1-1a 由单刀双掷开关 S、电感元件 L 和电容 C 组成电路的原理性示意图。图 1-1b 由以占空比 D 工作的有源场效应晶体管 VT、无源开关二极管 VD₁、电感 L、电容 C 组成，R 为电阻性负载。电路实现把直流电压 V_s 转换成直流电压 V_o 的功能。

一、工作原理

为分析稳态特性，简化推导公式的过程，特作以下几点假定：

(1) 场效应晶体管、二极管均是理想器件。也就是说，它们可以瞬间“导通”和“截止”，而且“导通”时压降为零，“截止”时漏电流为零。

(2) 电感、电容是理想元件。电感工作在线性区而未饱和，寄生电阻为零，电容的等效串联电阻为零。

(3) 输出电压中的纹波电压与输出电压相比小到允许忽略。

工作过程如下：

当开关 S 在位置 A 历时 t_{on} ，如图 1-2a 所示。电流 i_L 流过电感 L，电流线性增加，在负载 R 上流过电流 I_o ，R 两端电压 V_o ，极性上正下负。 $0 \sim t_{on}$ 阶段，电容充电，二极管 VD₁ 承受反向电压。当开关 S 转换至位置 B 时，如图 1-2b 所示。由于 L 中电流不变，产生电磁感应的电动势反向，VD₁ 导通起续流作用，也起钳位作用，负载 R 两端电压仍是上正下负。 t_{off} 阶段，电容处在放电状态，有利于维持 V_o 不变。电感在直流电压作用下，有伏·秒值不变（即能量守恒）特性，即

$$(V_s - V_o) t_{on} = V_o t_{off}$$

故在 T_s 中， $\frac{V_o}{V_s} = D_1$ 。因为 $t_{on} < T_s$ ，故 $D_1 < 1$ 。由于变换器输出电压 V_o 小于电源电压 V_s ，故称它为降压变换器。

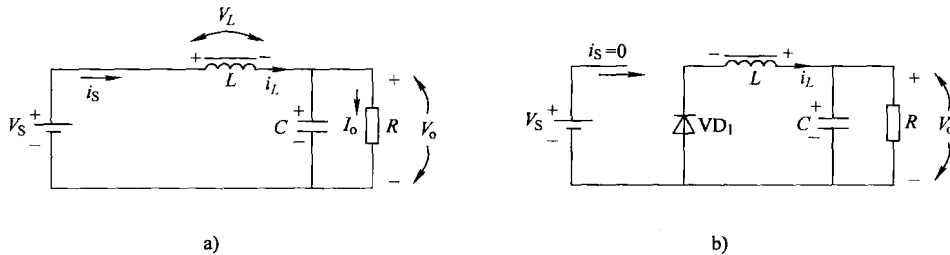


图 1-2 在周期 T_s 中 Buck 变换器随 t_{on} 和 t_{off} 跳变在两个电路中先后工作

a) 开关 S 在位置 A b) 开关 S 在位置 B

二、电路各点的波形

在周期 T_s 中，电感电流 i_L 是关键的物理量，可分为电感电流连续工作模式和电感电流不连续工作模式两种。波形如图 1-3a、b 所示。

依据法拉第定律 $\frac{V}{L} = \frac{\Delta i}{\Delta t} = r$ ，称电流变化斜率。当开关 S 闭合 $D_1 T_s$ 时间段， i_L 以斜率 $(V_s - V)/L$ 上升。当开关 S 打开时， i_L 以斜率 V_o/L 下降，故输入电流是脉动的，但输出电流 I_o ，在 L 、 C 作用下却是连续、平稳的，以适应开关电源负载 R 的需要。

三、主要概念与关系式

1. 电压增益与占空比关系

(1) 电感电流连续

下面分析一下开关闭合和断开与输出电压的关系。在图 1-3 中，设开关周期为 T_s ，闭合时间为 $t_{on} = D_1 T_s$ ，断开时间为 $t_{off} = D_2 T_s$ 。 D_1 称为开通时间占空比，表示有源开关接通时间

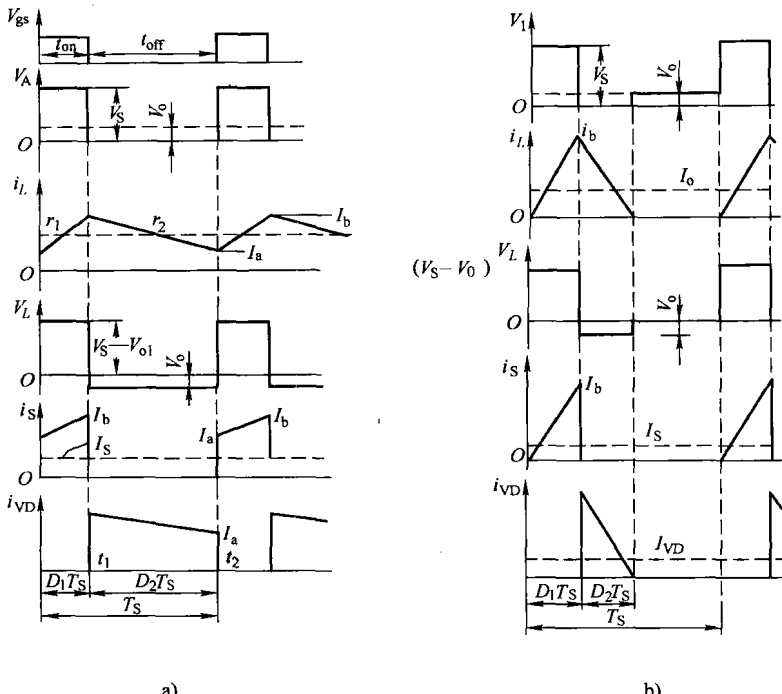


图 1-3 Buck 变换器两种工作模式波形图

a) 连续模式 (在一个周期中 $I_L > 0$) b) 不连续模式 (在一个周期中 I_L 有零值点)

注: r_1 、 r_2 是电流变化率, I_s 是最小幅值, I_b 是最大幅值。

占周期的百分值。 D_2 称为关断时间占空比, 表示无源开关断开时间占周期的百分值。根据假定 (1), 很明显, $D_1 + D_2 = 1$ 。

在输入输出不变的前提下, 当开关 S 在 A 点时, 波形如图 1-3a 所示, 电感电流线性上升, 根据 $V = L \frac{di_L}{dt}$, 在稳态下电流增量为

$$\Delta i_{L1} = \frac{V_s - V_o}{L} D_1 T_s \quad (1-1)$$

式中 Δi_{L1} —— 电流增量 (A);

V_s —— 输入电源电压 (V);

V_o —— 输出电压 (V);

L —— 电感 (H);

T_s —— 开关周期 (s);

D_1 —— 开关开通时间占空比。

当开关 S 在 B 点时, 如图 1-2b 或图 1-3a 所示, 稳态电流增量为

$$\Delta i_{L2} = \frac{-V_o}{L} D_2 T_s \quad (1-2)$$

由于稳态时这两个电流变化量相等, 即 $\Delta i_{L1} = |\Delta i_{L2}|$, 所以有

$$\frac{V_s - V_o}{L} D_1 T_s = \frac{V_o}{L} D_2 T_s, \quad D_2 = 1 - D_1$$

整理得到

$$\frac{V_o}{V_s} = D_1 \quad (1-3)$$

式(1-3)表明,输出电压随占空比 D_1 而变化, $\frac{V_o}{V_s}$ 是电压增益,用 M 表示,即 $M = D_1$ 。

如图 1-4 所示,电压增益 M 由开关开通时间占空比 D_1 决定,与负载电流大小无关,即变换器有很好的外特性。

(2) 电感电流不连续

当电感 L 较小,负载电阻较大或 T_s 较大时,将出现电感电流已下降到 0,新的周期却尚未开始的情况。当新的周期来到时,电感电流从 0 开始线性增加。这种工作方式称电感电流不连续模式。波形图如图 1-3b 所示。此时,当开关 S 在位置 A 时,有

$$\Delta i_{L1} = \frac{V_s - V_o}{L} D_1 T_s$$

当开关 S 在位置 B 时,有

$$\Delta i_{L2} = -\frac{V_o}{L} D_2 T_s$$

由于 $\Delta i_{L1} = |\Delta i_{L2}|$

整理得

$$V_o = \frac{D_1}{D_1 + D_2} V_s \quad (1-4)$$

式中 D_2 ——晶体管关断、二极管开通时间占空比。

注意,此时 $D_1 + D_2 \neq 1$,如图 1-3b 所示。

由图 1-3b 中 i_L 曲线可知,稳态负载电流 I_o 即是 i_L 面积在 T_s 时间内的平均值,而且等于 V_o/R 。即

$$I_o = \frac{1}{T_s} \left[\frac{1}{2} (D_1 + D_2) T_s \frac{V_s - V_o}{L} D_1 T_s \right] = \frac{V_o}{R} \quad (1-5)$$

解得

$$\frac{1}{M} - 1 = \frac{2\tau_L}{D_1 (D_1 + D_2)} \quad (1-6)$$

式中 $\tau_L = \frac{L}{R T_s}$ 。

τ_L 是无量纲参数。它是变换器特征值,一般称 $\frac{L}{R}$ 为时间常数,现在再与 T_s 相比,故称相对时间常数。

由式(1-6)可得

$$M = \frac{D_1}{D_1 + \frac{2\tau_L}{D_1 + D_2}} \quad (1-7)$$

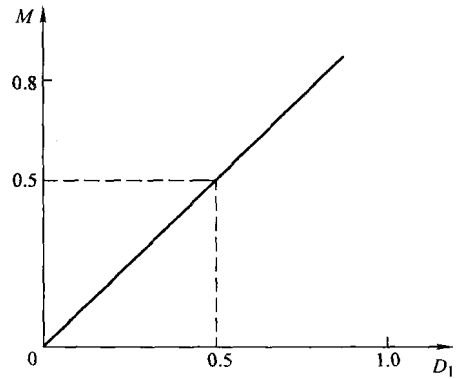


图 1-4 Buck 变换器 $M = f(D)$